

کاهش ارتعاشات خودتحریک در فرایнд میکروفرز کاری

با استفاده از جاذب‌های ارتعاشی

صالح شاکری
کارشناس ارشد مهندسی مکانیک
دانشگاه شهید باهنر کرمان
saleh.shakeri68@yahoo.com

*فرهاد شیخ سامانی
استادیار دانشکده مهندسی مکانیک
دانشگاه شهید باهنر کرمان
farhad.samani@uk.ac.ir

تاریخ پذیرش: ۱۳۹۴/۰۵/۱۰

تاریخ دریافت: ۱۳۹۳/۱۱/۱۲

چکیده

در این مقاله به مسئله فرون Shanدن ارتعاشات خودتحریک در فرایند میکروفرز کاری بهمنظور دستیابی به دقت بیشتر، کیفیت سطح بهتر و نرخ برداشت ماده بالاتر پرداخته شده است. فرایند میکروفرز کاری بهصورت سیستمی دو درجه آزادی مدل شده و آثار خروج از مرکز ابزار برش نیز در نظر گرفته شده است. بهمنظور افزایش پایداری سیستم در عمق برش بیشتر و در نتیجه نرخ برداشت ماده بالاتر، جاذب‌های ارتعاشی خطی و غیرخطی طراحی شده‌اند و مقادیر پارامترهای آنها توسط یک الگوریتم توسعه‌یافته بهینه شده است. تأثیر این جاذب‌ها بر پاسخ زمانی سیستم و ناحیه پایداری آن بررسی و نشان داده شده است که ارتعاشات سیستم بهمیزان قابل توجهی کاهش یافته و ناحیه پایداری نیز بهطور محسوسی گسترش یافته است. در نهایت عملکرد انواع جاذب‌های ارتعاشی با یکدیگر مقایسه و بهترین نوع آن مشخص شده است.

واژگان کلیدی: ارتعاشات غیرخطی، میکروفرز کاری، جاذب ارتعاشی غیرخطی، سایش ابزار

۱. مقدمه

خودتحریک^۱ اشاره کرد که سبب سایش زیاد یا شکست ابزار برش، دقت پایین ابعاد قطعه کار و در نهایت کیفیت پایین سطح کار شده می‌شود. ارتعاشات خودتحریک ناشی از حرکت نسبی بین قطعه کار و ابزار برش است و نتیجه آن، ایجاد موج و ترک‌های نامنظم در سطح ماشینکاری شده است. بنابراین ضروری است بهمنظور بهبود رفتار ارتعاشی سیستم، با استفاده از جاذب‌های ارتعاشی خطی و

فرایند میکروفرز کاری (فرز کاری در ابعاد میکرو) در ساخت قطعاتی با ظرافت بالا مورد استفاده قرار می‌گیرد و از جمله مناسبترین روش‌ها برای تولید شکل‌های هندسی پیچیده است. بهعلت نیازهای اخیر صنعت در تولید با ابعاد کوچکتر، کاربرد فرایند میکروفرز کاری با تولید میکروقطعاتی از جنس‌های مختلف گسترش یافته است. از جمله عوامل بازدارنده در این فرایند می‌توان به پدیده ارتعاشات

مدل مکانیکی تحلیلی، از فرایند میکروفرزکاری برای پیش‌بینی نیروهای برش مطرح کردند که آثار تماس جانبی را نیز در نظر می‌گیرد [۱۱]. در سال ۲۰۰۸ م، مدل تئوری دیگری ارائه شد که آثار اندازه شاعع لبه ابزار برش و خروج از مرکز آن را نیز در نظر می‌گرفت [۱۲]. آفزایش و همکاران در سال ۲۰۱۰ م، مدل جدیدی را با در نظر گرفتن مسیر حرکت ابزار برش و آثار خروج از مرکز آن، سرعت زاویه محور، تماس قطعه‌کار و ابزار برش، اندازه شاعع لبه ابزار برش و رفتار ترمودینامیکی قطعه‌کار پیشنهاد کردند که نیروهای برش را به خوبی تقریب می‌زد [۱۳]. پژوهش‌ها در زمینه درک سینماتیک کامل ابزار برش نیز طی سال‌های اخیر گسترش زیادی یافته است. کوینتنا و همکاران روشی آزمایشگاهی برای به دست آوردن دیاگرام پایداری مربوط به فرزکاری ارائه داده‌اند [۱۴]. آفزایش و همکاران در سال ۲۰۱۲ م، برای ارتعاشات فرایند میکروفرزکاری مدلی را توسعه دادند که ترمهای غیرخطی مربوط به سرعت زاویه‌ای را در نظر می‌گیرد [۱۵]. در پژوهش حاضر نیز به طور عمده از نتایج این پژوهش استفاده شده است. برای این منظور بر روی آنالیز تأثیر دینامیک مربوط جاذب‌های ارتعاشی به کار رفته در فرایند میکروفرزکاری تمرکز شده است. هدف این کار به طور کلی بررسی عملکرد جاذب‌های ارتعاشی و به طور خاص مقایسه جاذب‌های خطی و غیرخطی در بهبود پاسخ ارتعاشی بهنگام استفاده از جاذب ارتعاشی، به صورت عددی و با رسم نمودارهای پاسخ زمانی سیستم و منحنی پایداری با استفاده از روش حل عددی رونگه-کوتا صریح^۳ بررسی شده است و مقادیر بهینه پارامترهای مربوط به جاذب ارتعاشی نیز به دست آمده‌اند.

۲. مدل دینامیکی فرایند میکروفرزکاری

در پژوهش حاضر از مدل نیروهای برش میکروفرزکاری توسعه یافته استفاده شده است و ضخامت تراشه با در نظر

غیرخطی مناسب، تحقیقاتی روی سیستم انجام شود. جاذب‌های ارتعاشی دینامیکی به عنوان راهی مؤثر و کارآمد در کاهش سطح ارتعاشات نامطلوب در فرکانس‌های خاص شناخته شده‌اند. از زمان کارهای فراهم [۱] در سال ۱۹۰۹ م، تعداد زیادی از مقالات به مطالعه، بهبود و آزمایش این ابزار نسبتاً ساده در زمینه کاهش ارتعاشات پرداخته‌اند. تئوری جاذب ارتعاشی خطی در نوشه‌های و مقالات [۳-۲] نوشته شده و هنوز در بسیاری از تحقیقات فعل [۴] مورد استفاده قرار می‌گیرد. اگرچه بیشتر این جاذب‌های خطی فقط در محدوده باریک و محدود از فرکانس تحریک مؤثرند.

برای غلبه بر این موضوع، بعضی از تحقیقات بر مطالعه جاذب‌هایی با پارامترهای غیرخطی [۵-۶] اختصاص یافته است. هدف این مطالعات، بهینه‌سازی جاذب برای کاهش ارتعاشات، با افزایش پهنای باند مؤثر و کاهش دامنه ارتعاشات کل سیستم بوده است. کوینی شیوه‌ای برای به کار بردن جاذب‌های ارتعاشی غیرخطی مرتبه دوم در سازه‌هایی انعطاف‌پذیر که به صورت یک سیستم دو درجه آزادی مدل شده‌اند، ارائه داده است [۷]. همچنین در کار دوم، دینامیک مربوط به جاذب ارتعاشی غیرخطی یک سیستم دو درجه آزادی با میرایی و فتریت غیرخطی را ارائه داده‌اند، که به مطالعه آثار میرایی غیرخطی بر پاسخ پایدار^۳ یک جاذب مرتبه سوم پرداخته است [۸]. الکساندر و همکاران نیز کارهایی تئوری و آزمایشگاهی ارائه نموده‌اند که عملکرد جاذب ارتعاش غیرخطی مرتبه سوم را در ایزولاسیون مربوط به زلزله و آثار انتقال انرژی با تحریک خارجی مورد بررسی قرار داده است [۹-۱۰].

در سال‌های اخیر، در زمینه مدلسازی تحلیلی و دینامیکی مربوط به نیروهای میکروفرزکاری مطالعات گسترده‌ای انجام شده است. کیم و همکاران در سال ۲۰۰۴ م یک مدل استاتیکی از تشکیل و رشد تراشه در فرایند فرزکاری پیشنهاد دادند که متناوب‌بودن تشکیل و رشد تراشه را نشان می‌دهد [۱۰]. کنگ و همکاران در سال ۲۰۰۷ م یک

اجتناب ناپذیر بمنظر می‌رسد. مسیر حرکت لبه k به صورت زیر به دست می‌آید [۱۳].

$$x_{(k)} = f t + R \sin(\omega t - \frac{2\pi k}{K}) + R_0 \sin(\omega t + \gamma_0) \quad (1)$$

$$y_{(k)} = R \cos(\omega t - \frac{2\pi k}{K}) + R_0 \cos(\omega t + \gamma_0)$$

به طوری که در این روابط f نرخ جلوروندگی بر حسب میلی‌متر بر ثانیه، R شعاع ابزار برش بر حسب میلی‌متر، ω سرعت زاویه‌ای محور بر حسب رادیان بر ثانیه، t زمان، k شماره دندانه، K تعداد دندانه‌ها، R_0 طول خروج از مرکز ابزار برش بر حسب میلی‌متر و γ_0 زاویه خروج از مرکز بر حسب رادیان می‌باشد. منحنی مسیر لبه k-1 نیز از معادله ۱ و با جانشینی کردن k-1 به جای k و t' به جای t این‌چنین به دست می‌آید [۱۳]:

$$x_{(k-1)} = f t' + R \sin(\omega t' - \frac{2\pi(k-1)}{K}) + R_0 \sin(\omega t' + \gamma_0) \quad (2)$$

$$y_{(k-1)} = R \cos(\omega t' - \frac{2\pi(k-1)}{K}) + R_0 \cos(\omega t' + \gamma_0)$$

زمان t' بیان‌کننده زمان مربوط به برش لبه k-1 است و این‌گونه به دست می‌آید [۱۳]:

$$t' = t - \frac{2\pi}{K\omega} \quad (3)$$

ضخامت تراشه h با توجه به روابط هندسی بدین صورت مدل شده است [۱۳]:

$$h = R + L \sin\left(\omega t - \frac{2\pi(k-1)}{K} + \alpha_0\right) - \sqrt{R^2 - L^2 \cos^2\left(\omega t - \frac{2\pi(k-1)}{K} + \alpha_0\right)} \quad (4)$$

به طوری که در رابطه ۴، مقادیر L و α_0 به صورت زیر تعریف می‌شوند [۱۳]:

$$L = \sqrt{(x_0 - x_0')^2 + (y_0 - y_0')^2} \quad (5)$$

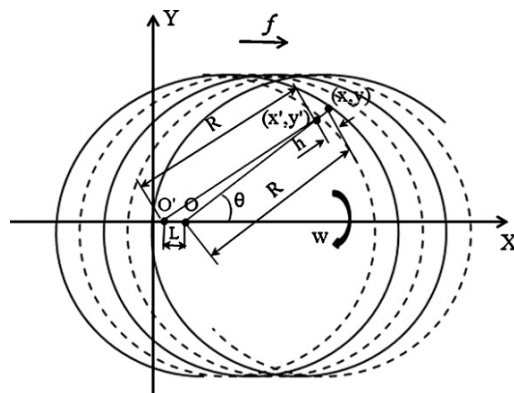
$$\alpha_0 = \tan^{-1}\left(\frac{y_0 - y_0'}{x_0 - x_0'}\right) \quad (6)$$

$$x_0 = f t + R_0 \sin(\omega t + \gamma_0) \quad (7)$$

گرفتن خروج از مرکز ابزار برش تعیین می‌شود [۱۳] استفاده شده است. این مدل رابطه بین نیروهای برش، ضخامت تراشه برداشته شده و سرعت برش را پیش‌بینی می‌کند. به علاوه، از این مدل برای پیش‌بینی نیروهای برش فولاد AISI H13 و آلیاژ تیتانیوم Ti6Al4V استفاده شده که سازش خوبی بین نتایج پیش‌بینی شده و اندازه‌گیری‌های آزمایشات مستخرج از مرجع [۱۳] برای هر دو ماده مشاهده شده است.

۳. مدلسازی ضخامت تراشه برداشته شده

برای مدل کردن ضخامت تراشه، ابتدا منحنی مسیر لبه‌های ابزار برش مدل می‌شود. این منحنی‌ها به شعاع ابزار برش، سرعت زاویه‌ای محور، اثر خروج از مرکز ابزار و نرخ جلوروندگی بستگی دارند. شکل ۱ منحنی‌های مسیر مربوط به لبه‌های برش k و k-1 ابزار را نشان می‌دهد [۱۳].



شکل ۱. مسیر حرکت لبه‌های k و k-1 در مختصات کارتزین xy خط پر نمایانگر لبه برش k و خط چین لبه برش k-1 است [۱۳]

از جمله مشکلات رایج در فرایند میکروفرز کاری خروج از مرکز ابزار برش است، که علت اصلی بروز آن، انحراف مرکز ابزار برش است. تأثیر این مؤلفه در فرایند فرز کاری با ابعاد معمولی ناچیز و قابل صرفنظر کردن است. اما همان‌طور که توسط باوث و تانسل گزارش شده است، یک خروج از مرکز کوچک در فرایند میکروفرز کاری، تغییرات چشمگیری در نیروها ایجاد می‌کند [۱۶]. لذا اعمال اثر آن

$$\text{سرعت مماسی ابزار برش از معادله } ۱۰ \text{ به دست می‌آید} \\ .[13]$$

$$v = \omega(R - 0.5h \times 10^{-3}) \quad .[10]$$

لازم به ذکر است که واحد ضخامت تراشه در معادلات ۹ و ۱۰ میکرومتر است. نیروها در جهات برشی (F_c) و مماسی (F_t) از جانشینی معادلات ۴ و ۱۰ در معادله ۹ به دست می‌آیند و براساس الگوی حرکت فرایند، نیروهای میکروفیزیکاری در جهات x و y نیز این چنین محاسبه می‌شوند [۱۳].

$$\begin{bmatrix} F_x \\ F_y \end{bmatrix} = \frac{a_p}{a_p^{orth}} \begin{bmatrix} \sin \theta & \cos \theta \\ -\cos \theta & \sin \theta \end{bmatrix} \begin{bmatrix} F_t \\ F_c \end{bmatrix} \quad (11)$$

به طوری که a_p نشان دهنده عمق برش (۱۰ میلی‌متر) در آزمایشات مربوط به ارزیابی دقت مدل، a_p^{orth} ضخامت مربوط به ارزیابی مدل معماد آزمایش (۱ میلی‌متر) و θ زاویه چرخش است. نتایج ارزیابی مدل شبیه‌سازی نیروها در سه شرایط برشی مختلف در شکل‌های ۳ و ۴ نمایش داده شده است [۱۳].

۵. پاسخ ارتعاشات فرایند میکروفیزیکاری در حوزه زمان

ارتعاشات خودتحریک معمولاً با حل معادلات در حوزه فرکانس یا زمان مدل می‌شوند. حل در حوزه فرکان معمولاً وقتی استفاده شده است که نیروهای برش فریزکاری رفتار خطی از خود نشان داده اند و این مسئله در فرایند فریزکاری با ابعاد معمولی متداول است. حال آنکه در فرایند میکروفیزکاری، نرخ جلورونده‌گی حدود چند میکرون بر دندانه و قطر ابزار برش کوچک (بین ۱۰ میکرومتر تا ۱ میلی‌متر) می‌باشد. نیروهای برش آن، رفتاری غیرخطی از خود نشان می‌دهند [۱۵]. چون نیروهای برش میکروفیزکاری غیرخطی‌اند، معادلات حرکت در نرمافزار متمتیکا^۰ و با استفاده از حل‌های عددی در حوزه زمان حل شده‌اند. سیستم کلی این فرایند را می‌توان همانند آنچه در شکل ۵ رسم شده است، دو بعدی در نظر گرفت [۱۵].

$$\begin{aligned} y_0 &= R_0 \cos(\omega t + \gamma_0) \\ x_{(0)} &= f' t' + R_0 \sin(\omega t' + \gamma_0) \\ y_{(0)} &= R_0 \cos(\omega t' + \gamma_0) \end{aligned} \quad (8)$$

در شکل ۲ آثار خروج از مرکز بر ضخامت تراشه در نرخ جلورونده‌گی ۵ میلی‌متر بر ثانیه، دور محور ۵۰۰۰۰ دور بر دقیقه و زاویه خروج از مرکز ۴۵ درجه نشان داده است. این نتایج با استفاده از نرم‌افزار متمتیکا اعتبارسنجی و نمایش داده شده است. همان‌گونه که مشاهده می‌شود با افزایش خروج از مرکز، ضخامت تراشه برداشته شده توسط دندانه اول افزایش و توسط دندانه دوم کاهش یافته است و هر چه مقدار خروج از مرکز بیشتر باشد، اختلاف ضخامت تراشه برداشته شده و در نتیجه اختلاف مقدار نیروی وارد شده به دندنهای بیشتر می‌شود.

۴. مدلسازی نیروهای برش و ارزیابی اعتبار آن

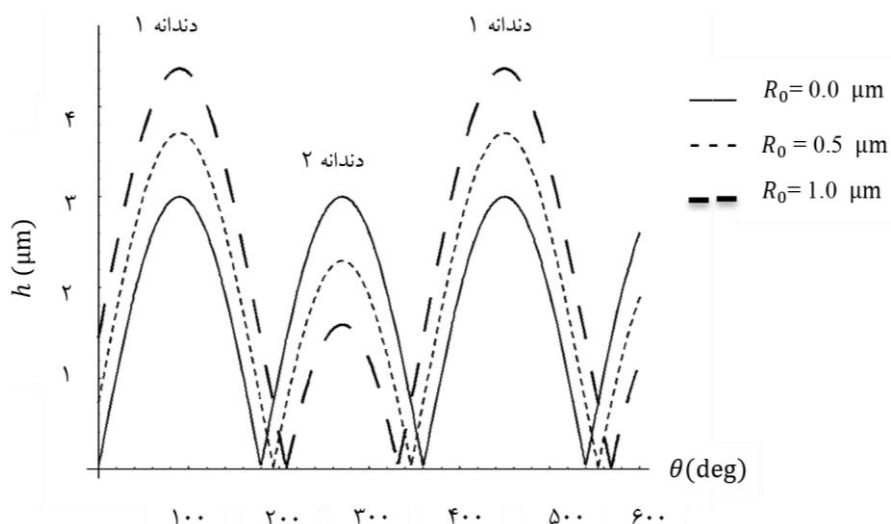
رابطه بین نیروهای برش و ضخامت تراشه در سرعتهای زاویه‌ای گوناگون از معادله ۹ به دست می‌آید [۱۳]:

$$F_{c,t} = p_1 v^{p_2} (1 - e^{p_3 h}) + (p_4 v + p_5) (1 - e^{p_6 h}) \quad (9)$$

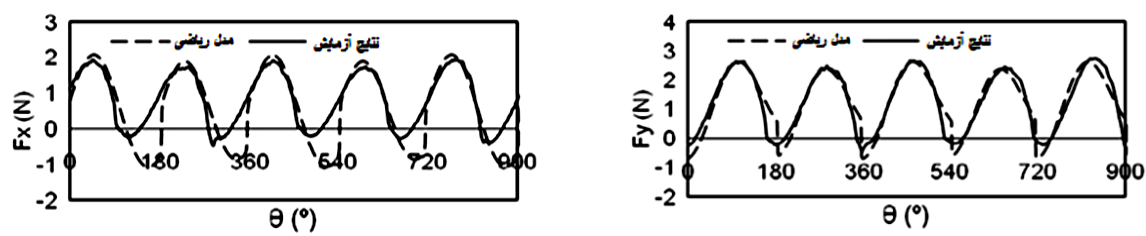
به طوری که در این رابطه F_c نیرو در جهت برش و F_t نیرو در جهت مماسی است. مقادیر ثابت مورد استفاده در معادله ۹ در جدول ۱ معرفی شده‌اند [۱۳].

جدول ۱. مقادیر ثابت مربوط به معادله ۹ [۱۳]

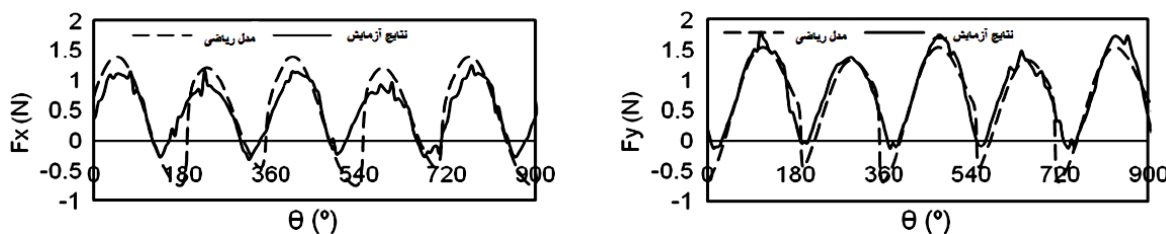
ثوابت نیرو	F_c	F_t
p_1	۲۴۷۳۰	۱۳۲۰
p_2	-0/066	0/...
p_3	-0/00016	-0/00045
p_4	-0/00098	0/...
p_5	6/63	6/5
p_6	-6/9	-12



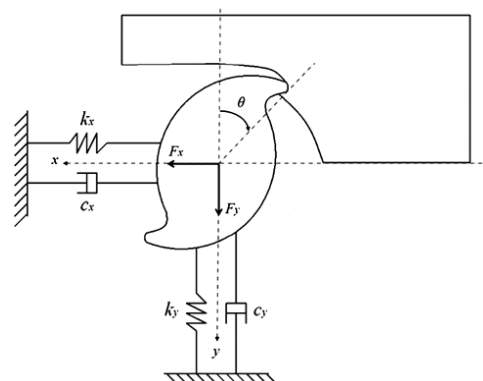
شکل ۲. ضخامت لایه برداشته شده در نرخ جلوروندگی ۵ میلی متر بر ثانیه و زاویه خروج از مرکز ۴۵ درجه [۱۳]



شکل ۳. نیروها در سرعت زاویه‌ای ۵۰۰۰ دور بر دقیقه، نرخ جلوروندگی ۱ میلی متر بر ثانیه، زاویه خروج از مرکز ۴۵ درجه و مقدار خروج از مرکز 0.3×10^{-3} میکرومتر [۱۳]



شکل ۴. نیروها در سرعت زاویه‌ای ۲۵۰۰۰ دور بر دقیقه، نرخ جلوروندگی ۲ میلی متر بر ثانیه، زاویه خروج از مرکز ۴۵ درجه و مقدار خروج از مرکز 0.3×10^{-3} میکرومتر [۱۳]



شکل ۵. مدل دینامیکی فرایند میکروفرزکاری [۱۵]

جایه‌جایی در جهات x و y هستند و به صورت زیر به دست می‌آیند [۱۵].

$$\bar{x} = \frac{\sum_{i=1}^n x_i}{n}$$

$$\bar{y} = \frac{\sum_{i=1}^n y_i}{n} \quad (15)$$

برش میکروفزکاری زمانی که واریانس آماری بزرگتر از ۱ باشد، ناپایدار در نظر گرفته می‌شود [۱۷]. در این مقاله حد پایین برای پایداری در نظر گرفته شده است، یعنی زمانی که حتی یکی از واریانس‌های آماری در جهات x یا y به مقدار ۱ برسد، سیستم ناپایدار در نظر گرفته می‌شود. شکل ۶ دیاگرام تعیین منحنی پایداری را نشان می‌دهد [۱۵]. مشخص است که سرعت محور از واحد دور بر دقیقه به رادیان بر ثانیه تبدیل شده است. این دیاگرام در مرجع [۱۵] در حالی استفاده شده است که سیستم قادر جاذب ارتعاشی می‌باشد. در این مقاله نیز از همان دیاگرام برای تعیین و رسم منحنی پایداری برای سیستم دارای جاذب استفاده شده است. الگوریتم شکل ۶ در نرمافزار متماتیکا بازنویسی و نتایج آن با نتایج آزمایشات مندرج در مرجع [۱۵] در شکل ۷ مقایسه شده است. زمان کل محاسبات مربوط به معادلات ۱۳، $\frac{۰}{۲} \cdot ۰$ ثانیه و بازه افزایش زمان $۱۰^{-۶}$ ثانیه در نظر گرفته شده است. بازه افزایش سرعت محور در هر دور الگوریتم ۵۰ دور بر دقیقه در نظر گرفته شده است. انتخاب بازه کوچکتر سبب دقیق‌تر شدن نمودارها می‌شود، اما زمان محاسبات را افزایش می‌دهد. بنابراین انتخاب ۵۰ دور بر دقیقه برای $\Delta\omega$ منطقی به نظر می‌رسد. بازه تغییر عمق برش نیز ۱ میکرومتر در نظر گرفته شده است. منحنی پایداری در بازه ۱۰۰۰۰ تا ۳۵۰۰۰ برای سرعت محور به دست آمده است. در شکل ۸ تصاویری از سطوح صیقلی و زبر کارشده در سرعت محور ۱۰۰۰۰ دور بر دقیقه نمایش داده شده است [۱۵]. تصویر سطح کارشده صیقلی در عمق برش خیلی کم، که انتظار رخداد پدیده ارتعاشات

دینامیک سیستم میکروفزکاری می‌تواند با استفاده از دو معادله دیفرانسیل معمولی مرتبه دوم در دو بعد حرکت تشریح شود [۱۵].

$$m_x \ddot{x}(t) + c_x \dot{x}(t) + k_x x(t) = F_x \quad (12)$$

$$m_y \ddot{y}(t) + c_y \dot{y}(t) + k_y y(t) = F_y$$

در این مقاله به منظور مقایسه نتایج، از پارامترهای دینامیکی مرجع [۱۵] استفاده شده است (جدول ۲). معادله ۱۲ با تقسیم بر جرم کل و در نظر گرفتن روابط ذیل به صورت معادله ۱۳ بازنویسی شده است [۱۵].

$$\frac{c}{m} = 2\xi\omega_n$$

$$\frac{k}{m} = \omega_n^2$$

$$\ddot{x}(t) = \frac{\omega_{n,x^2} F_x}{k_x} - 2\xi_x \omega_{n,x} \dot{x}(t) - \omega_{n,x^2} x(t) \quad (13)$$

$$\ddot{y}(t) = \frac{\omega_{n,y^2} F_y}{k_y} - 2\xi_y \omega_{n,y} \dot{y}(t) - \omega_{n,y^2} y(t)$$

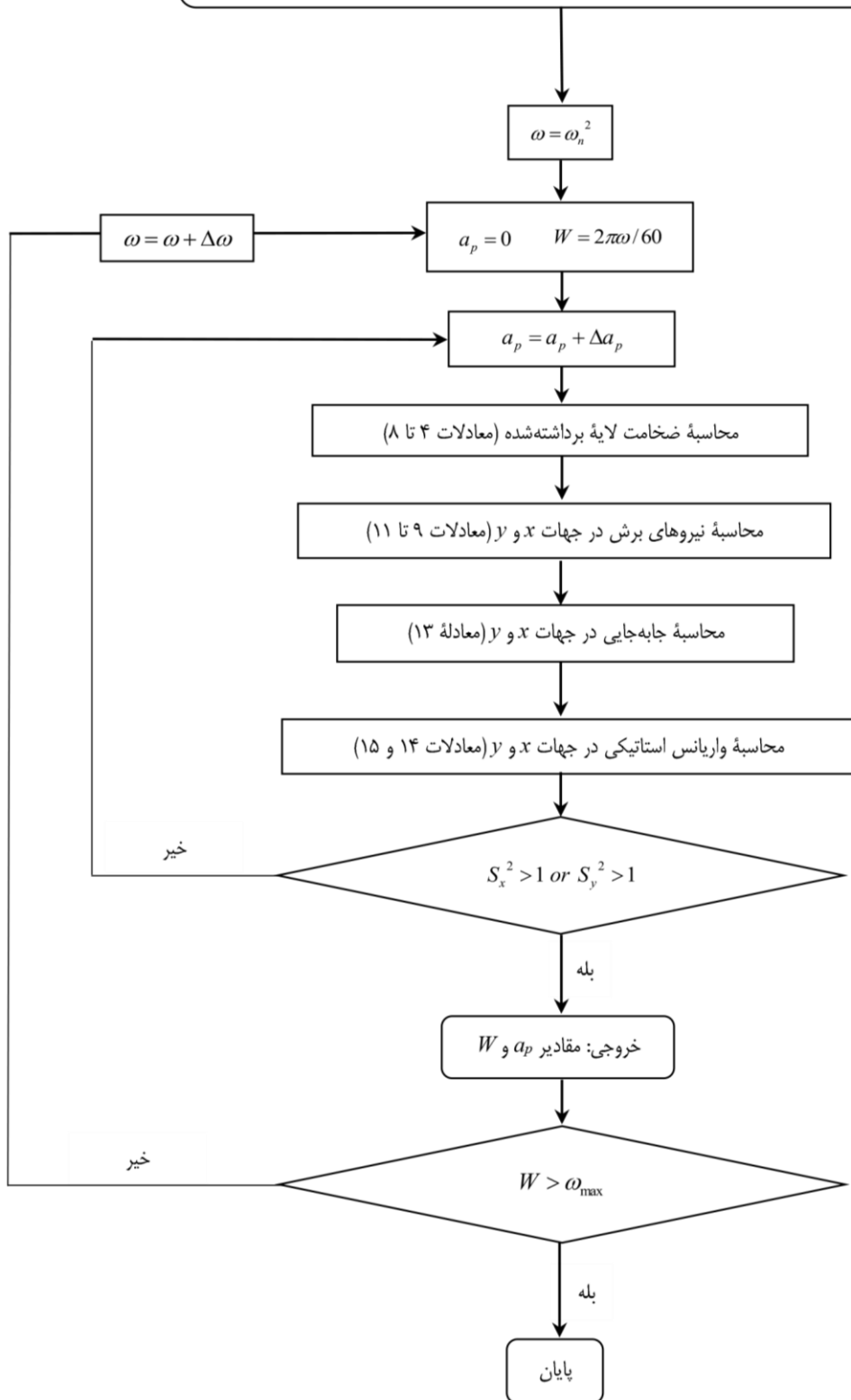
در این مقاله برای حل معادله ۱۳ از روش انتگرالگیری رونگه - کوتای صریح در حوزه زمان استفاده شده است. بعد از حل معادله ۱۳ در حوزه زمان و به دست آمدن جایه‌جایی در جهات x و y از معیاری برای ارزیابی رخداد پدیده ارتعاشات خودتحریک استفاده شده است. در اینجا از متغیر واریانس آماری به عنوان معیاری برای تشخیص این پدیده استفاده شده است. روش به دست آوردن واریانس آماری این‌گونه است [۱۵]:

$$S_x^2 = \frac{\sum_{i=1}^n (x_i - \bar{x})^2}{n-1} \quad (14)$$

$$S_y^2 = \frac{\sum_{i=1}^n (y_i - \bar{y})^2}{n-1}$$

به طوری که S_x^2 و S_y^2 واریانس آماری در جهات x و y ، x_i و y_i جایه‌جایی حاصل از حل معادله ۱۳ در زمان‌های مشابه، n تعداد فواصل کوچک زمانی و \bar{x} و \bar{y} میانگین

وروودی: پارامترهای دینامیکی سیستم موتورشده ابزار برش، ثوابت نیرو، نرخ جلوبرندگی، بازه افزایش زمان، بازه افزایش عمق برش، بازه افزایش سرعت محور، کمترین و بیشترین سرعت محور

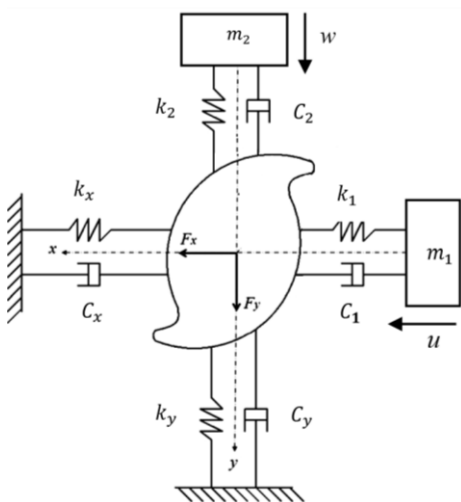


شکل ۶. دیاگرام مربوط به الگوریتم به دست آوردن منحنی پایداری سیستم میکروفروز کاری [۱۵]

جدول ۲. پارامترهای دینامیکی سیستم
یکپارچه ابزار برش و نگهدارنده ابزار [۱۵]

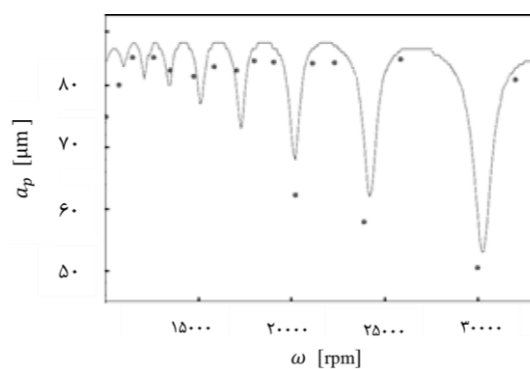
پارامترهای مدل دینامیکی	مود شیپ اول	مود شیپ دوم
ω_n	۴۰۳۵	۵۱۶۳
ζ	۰/۰۱۰۵	۰/۰۳۸
k	۳/۲	۰/۵۳۹۷

۶. دینامیک فرایند همراه با جاذب‌های ارتعاشی
چون نیاز به کیفیت بالای سطح کارشده بسیار مهم است، فرونشاندن ارتعاشات خودتحریک در این فرایند امری حیاتی است و بدین منظور، در این پژوهش تأثیر جاذب ارتعاشی مورد بررسی قرار گرفته است. در این قسمت فرمول‌بندی مربوط به جاذب ارتعاشی در فرایند میکروفرزکاری توضیح داده شده است. جاذب ارتعاشی شامل یک سیستم یک درجه آزادی مت Shank از یک جرم، دمپر و فنر می‌باشد. در شکل ۹ طرحی کلی از فرایند میکروفرزکاری همراه با جاذب ارتعاشی متصل در جهات x و y به ترتیب با پارامترهای m_1 , m_2 , k_1 , c_1 , k_2 , c_2 , m_2 و k_2 نشان داده شده است. جابه‌جایی دینامیکی جاذب‌ها با w و u نشان داده می‌شود.

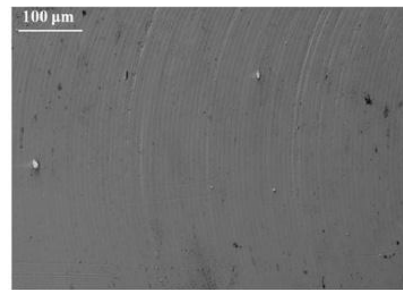


شکل ۹. طرح کلی فرایند میکروفرزکاری همراه با جاذب‌های ارتعاشی در جهات x و y

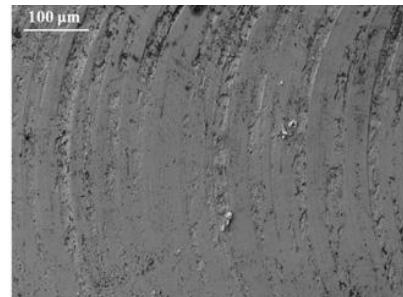
خودتحریک وجود ندارد، عکس‌برداری شده است. در صورتی که زبری سطح دیگر در اثر ارتعاشات ابزار برش در عمق برش زیادتر از حد مجاز است. علاوه‌آین پدیده در سرعت‌های ۲۴۰۰۰، ۲۶۰۰۰، ۲۹۰۰۰ و ۳۲۰۰۰ دور بر دقیقه انتظار می‌رود. احتمال رخداد آن در سرعت‌های بین ۱۰۰۰۰ تا ۲۰۰۰۰ دور بر دقیقه کمتر از سرعت‌های بالای ۲۰۰۰۰ دور بر دقیقه است [۱۵].



شکل ۷. منحنی پایداری به دست آمده از مدل تئوری (خط پر) و نتایج آزمایش (نقاط) در نرخ جلوروندگی ۴ میکرومتر بر دنده



(الف)



(ب)

شکل ۸ سطوح کارشده (الف) بدون رخداد ارتعاشات خودتحریک؛ (ب) با رخداد ارتعاشات خودتحریک [۱۵]

و عملکرد را داشتند، انتخاب و مطالعه شدند که در ادامه به شرح چگونگی عملکرد آنها پرداخته شده است. همان‌طور که در ادامه ذکر و در شکل ۱۰ نمایش داده شده است، تأثیر تغییرات ضریب میرایی در جاذب بسیار محسوس‌تر و تأثیرگذارتر از تغییرات سختی فر است. لذا در جاذبهای غیرخطی، ترم مربوط به میرایی غیرخطی و ترم سختی فر، خطی در نظر گرفته شده است. نوع اول جاذب غیرخطی انتخاب شده به گونه‌ای است که نیروی میرایی متناسب با مرتبه دوم سرعت برای سرعت‌های مثبت و متناسب با منفی مرتبه دوم سرعت برای سرعت‌های منفی است.

معادله ۱۷ مربوط به این نوع جاذب با پارامتر میرایی غیرخطی مرتبه دوم است که با توجه به قانون دوم نیوتون و معادله ۱۶ استخراج شده است.

$$\begin{aligned} m_x \ddot{x}(t) + c_x \dot{x}(t) + k_x x(t) + c_1 (\dot{x}(t) - \dot{u}(t)) |\dot{x}(t) - \dot{u}(t)| \\ + k_1 (x(t) - u(t)) = F_x \\ m_y \ddot{y}(t) + c_y \dot{y}(t) + k_y y(t) + c_2 (\dot{y}(t) - \dot{w}(t)) |\dot{y}(t) - \dot{w}(t)| \\ + k_2 (y(t) - w(t)) = F_y \end{aligned} \quad (18)$$

معادله ۱۸ مربوط به جاذب با پارامتر میرایی غیرخطی مرتبه سوم است.

نوع دوم جاذب غیرخطی انتخاب شده نیز به گونه‌ای است که نیروی میرایی متناسب با مرتبه سوم سرعت است.

معادله ۱۸ مربوط به جاذب با پارامتر میرایی غیرخطی مرتبه سوم است.

$$\begin{aligned} m_x \ddot{x}(t) + c_x \dot{x}(t) + k_x x(t) + \\ c_1 (\dot{x}(t) - \dot{u}(t))^3 + k_1 (x(t) - u(t)) = F_x \\ m_y \ddot{y}(t) + c_y \dot{y}(t) + k_y y(t) + \\ c_2 (\dot{y}(t) - \dot{w}(t))^3 + k_2 (y(t) - w(t)) = F_y \\ m_1 \ddot{u}(t) + c_1 (\dot{u}(t) - \dot{x}(t))^3 + k_1 (u(t) - x(t)) = 0 \\ m_2 \ddot{w}(t) + c_2 (\dot{w}(t) - \dot{y}(t))^3 + k_2 (w(t) - y(t)) = 0 \end{aligned} \quad (18)$$

نتایج حاصل از حل معادلات ۱۶ تا ۱۸ و همچنین بهینه‌سازی پارامترهای جاذب‌ها در بخش‌های بعد آورده شده است. به گونه‌ای که ابتدا پارامترهای جاذب‌ها بهینه و رفتار ارتعاشی قبل و بعد از نصب آنها مقایسه شده است. در این بخش نیز زمان کل محاسبات مربوط به معادلات، ۰/۲

پارامترهای دینامیکی در نظر گرفته شده در شبیه‌سازی فرایند، در جدول ۲ ذکر شده‌اند. به‌منظور مقایسه نتایج از پارامترهای دینامیکی مرجع ۱۵ استفاده شده است. تمام نتایج این تحقیق برای حالتی ارائه شده است که فرایند فرزکاری با دو دندانه و شعاع ابزار برش ۲۵۰ میکرومتر است. شرایط اولیه نیز به صورت زیر در نظر گرفته شده است.

$$\begin{aligned} x(0) &= y(0) = 0 \\ \dot{x}(0) &= \dot{y}(0) = 0 \end{aligned}$$

۷. جاذب ارتعاشی خطی

با در نظر گرفتن معادله ۱۲، معادله دینامیکی سیستم جذب شده با جاذب خطی طبق قانون دوم نیوتون به صورت روابط ۱۶ توصیف می‌شود.

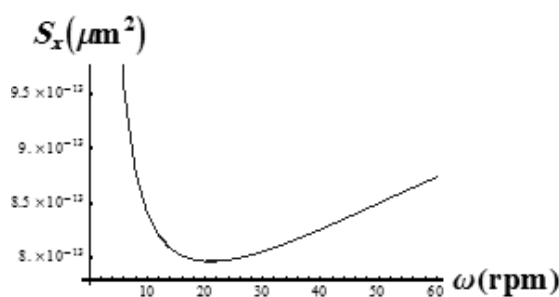
$$\begin{aligned} m_x \ddot{x}(t) + (c_1 + c_2) \dot{x}(t) + (k_1 + k_x) x(t) \\ - c_1 \dot{u}(t) - k_1 u(t) = F_x \\ m_y \ddot{y}(t) + (c_1 + c_y) \dot{y}(t) + (k_2 + k_y) y(t) \\ - c_2 \dot{w}(t) - k_2 w(t) = F_y \end{aligned} \quad (16)$$

به‌طوری که در این معادلات $m\ddot{x}$ و $m\ddot{y}$ ترم‌های اینرسی ابزار برش در جهت‌های x و y و $m\ddot{u}$ و $m\ddot{w}$ ترم‌های اینرسی جاذب‌ها در جهت‌های x و y هستند. همان‌طور که مشخص است، $c_x \dot{x}$ و $k_x x$ به‌ترتیب مربوط به ترم نیروی میرایی ابزار برش و ترم نیروی بازگرداننده ابزار برش در جهت x هستند. همچنین $c_y \dot{y}$ و $k_y y$ مربوط به همین ترم‌ها در جهت y می‌باشند. عبارات $c_1(\dot{u} - \dot{x})$ و $k_1(u - x)$ مربوط به نیروهای میرایی و بازگرداننده جاذب ارتعاشی در جهت x هستند. عبارات $c_2(\dot{w} - \dot{y})$ و $k_2(w - y)$ نیز مربوط به جاذب ارتعاشی در جهت y هستند.

۸. جاذب ارتعاشی غیرخطی

پس از بررسی حالتهای مختلف جاذب‌های ارتعاشی غیرخطی، دو نوع جاذب ارتعاشی که بهترین تأثیر

همان طور که در شکل ۱۰ مشخص است، تأثیر تغییرات سختی فنر بسیار کمتر از تأثیر تغییرات مقدار ضریب میرایی، بر واریانس آماری و در نتیجه کاهش ارتعاشات سیستم است. بنابراین مقدار سختی فنر نیز ثابت در نظر گرفته شده و تنها متغیرهای ضریب میرایی جاذب ارتعاشی بهینه می‌شوند. در مرحله دوم، با ثابت نگهداشتن مقدار جرم و فنریت جاذب، به مانند آنچه در شکل ۱۱ نمایش داده شده است، مقادیر c_1 و c_2 به عنوان پارامترهای کنترل در نظر گرفته و بهینه شده‌اند. مقادیر بهینه پارامترها در دور سرعت بالا 30200 دور بر دقیقه و پایین 15000 دور بر دقیقه استخراج شده و در جدول ۳ آورده شده‌اند.



شکل ۱۱. نمودار بهینه‌سازی ضریب میرایی جاذب ارتعاشی خطی در سرعت 30200 دور بر دقیقه

۹-۲. بهینه‌سازی جاذب‌های ارتعاشی غیرخطی
در جاذب‌های غیرخطی به کار رفته تأثیر تغییرات سختی فنر بسیار کمتر از تأثیر تغییرات مقدار ضریب میرایی در کاهش ارتعاشات سیستم است. بنابراین با ثابت نگهداشتن مقدار جرم و فنریت جاذب، مقادیر c_1 و c_2 به عنوان پارامترهای کنترل در نظر گرفته و بهینه شده‌اند. برای یافتن مقادیر بهینه پارامترهای جاذب ارتعاشی غیرخطی مرتبه دوم فضای پارامتری به صورت $m < c_1 < 60Ns/m$ و $c_2 < c_1 < 10000N/m$ در نظر گرفته شده است. این $n_1 = 60$ و $n_2 = 200$ به ترتیب برای میرایی و فنریت جاذب، تقسیم و مورد مطالعه قرار گرفته است. در واقع مقادیر n_1 و n_2 تعداد تقسیمات بازه فضای پارامتری هستند. مقدار واریانس آماری در حالت‌های مختلف جاذب ارتعاشی، محاسبه و نمودار مربوط به آن نیز رسم شده است (شکل ۱۰). به علت تقارن در هندسه اینبار برش، مقادیر مربوط به واریانس در هر دو جهت بسیار نزدیک‌اند.

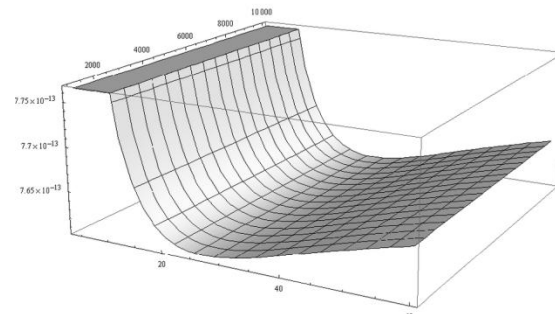
ثانیه و بازه افزایش زمان 10^{-6} ثانیه در نظر گرفته شده است. بازه افزایش سرعت محور نیز در هر دور الگوریتم ۵۰ دور بر دقیقه در نظر گرفته شده است.

۹. بهینه‌سازی پارامترهای جاذب‌های ارتعاشی

در این مقاله، از الگوریتمی مشابه شکل ۶ و روش بهینه‌سازی brute-force، که تمام حالت‌های ممکن را بررسی می‌کند، برای یافتن مقادیر بهینه پارامترهای جاذب ارتعاشی استفاده شده است. مقادیر مربوط به میرایی جاذب و سختی فنر به عنوان پارامترهای کنترل در نظر گرفته شده‌اند و مقدار جرم ثابت نگه داشته شده است. پارامترهایی که مقدار واریانس عددی و در نتیجه دامنه ارتعاش کمتری را نتیجه دهند، به عنوان مقادیر بهینه انتخاب شده‌اند.

۱۰. بهینه‌سازی جاذب‌های ارتعاشی خطی

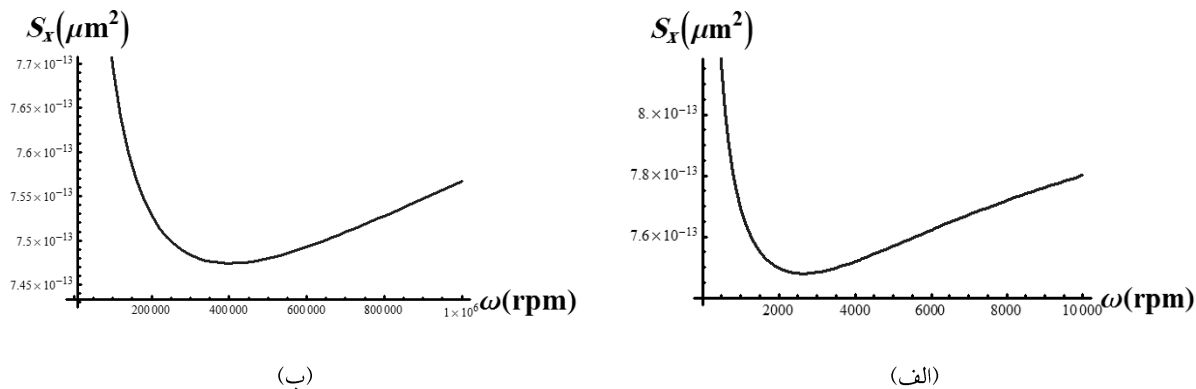
فضای پارامتری به صورت $0 < c_1, c_2 < 60Ns/m$ و $1 < k_1, k_2 < 10000N/m$ در نظر گرفته شده است. این فضای پارامتری به وسیله مقادیر $n_1 = 60$ و $n_2 = 200$ به ترتیب برای میرایی و فنریت جاذب، تقسیم و مورد مطالعه قرار گرفته است. در واقع مقادیر n_1 و n_2 تعداد تقسیمات بازه فضای پارامتری هستند. مقدار واریانس آماری در حالت‌های مختلف جاذب ارتعاشی، محاسبه و نمودار مربوط به آن نیز رسم شده است (شکل ۱۰). به علت تقارن در هندسه اینبار برش، مقادیر مربوط به واریانس در هر دو جهت بسیار نزدیک‌اند.



شکل ۱۰. نمودار واریانس آماری در حالت‌های مختلف پارامترهای جاذب خطی

به علت تقارن در هندسه ابزار برش و جاذب‌های ارتعاشی، مقادیر بهینه مربوط به پارامترهای جاذب‌های ارتعاشی افقی و عمودی یکسان در نظر گرفته شده‌اند.

$n_i = 500$ انجام شده است (شکل ۱۲). مقادیر بهینه پارامترهای این دو نوع جاذب غیرخطی در سرعت ۳۰۲۰۰ دور بر دقیقه استخراج شده و در جدول ۴ آورده شده است.



شکل ۱۲. نمودار بهینه‌سازی ضریب میرایی جاذب غیرخطی با (الف) میرایی مرتبه دوم، (ب) مرتبه سوم

در سرعت ۳۰۲۰۰ دور بر دقیقه با پارامترهای ثابت $k_1 = 2000N/m$ و $m_1 = 10 gr$

جدول ۳. مقادیر بهینه پارامترهای جاذب ارتعاشی خطی در دو سرعت بالا و پایین

	جرم (گرم)		ضریب سختی (نیوتون ثانیه بر متر)		ثابت فنر (نیوتون بر ثانیه)	
ω	m_1	m_2	c_1	c_2	k_1	k_2
۱۵۰۰۰	۵	۵۰	۱۸	۲۳	۷۰۰	۲۶۰۰
۳۰۲۰۰	۱۰	۲۵	۲۰	۲۸	۱۰۰۰	۳۵۰۰

جدول ۴. مقادیر بهینه پارامترهای جاذب‌های ارتعاشی غیرخطی مرتبه دوم و سوم

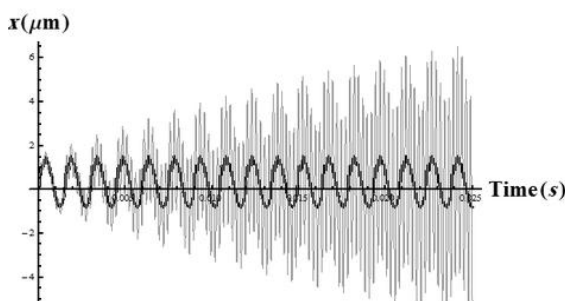
	جرم (گرم)		ضریب سختی (نیوتون ثانیه بر متر)		ثابت فنر (نیوتون بر ثانیه)	
جاذب غیرخطی مرتبه دوم	m_1	m_2	c_1	c_2	k_1	k_2
جاذب غیرخطی مرتبه سوم	۱۰	۱۰	۲۶۰۰	۲۶۰۰	۲۰۰۰	۲۰۰۰
	۱۰	۱۰	۴۰۰۰۰	۴۰۰۰۰	۲۰۰۰	۲۰۰۰

گرفته است. بدین منظور نمودارهای مربوط به دامنه ارتعاشات و منحنی پایداری قبل و بعد از به کار بردن جاذب‌ها رسم و با یکدیگر مقایسه شده‌اند. در واقع نمودارهای مربوط به دامنه ارتعاشات، تأثیر جاذب‌ها در یک

۱۰. اثر جاذب ارتعاشی بهینه‌شده بر عملکرد ارتعاشی سیستم

عملکرد جاذب‌های ارتعاشی خطی و غیرخطی به کار رفته روی ابزار برش در عملیات میکروفرزکاری مورد مطالعه قرار

بر دقیقه)، دامنه ارتعاشات نوک ابزار برش در مقایسه با سیستم بدون جاذب تقریباً یک سوم شده است. شکل ۱۳ مربوط به عملکرد جاذب ارتعاشی خطی و شکل‌های ۱۴ و ۱۵ به ترتیب مربوط به جاذب‌های ارتعاشی غیرخطی با میرایی مرتبه دوم و سوم هستند. این نمودارها در سرعت و عمق برش خاصی با استفاده از نرمافزار متماتیکا استخراج، رسم و مقایسه شده‌اند.

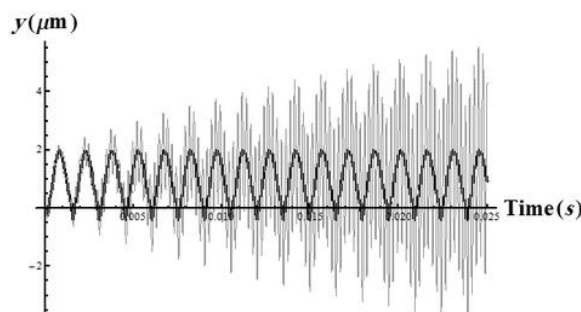


(ب)

سرعت خاص و نمودارهای منحنی پایداری، تأثیر آنها را در بازه گسترده‌ای از سرعت محور دوران نشان می‌دهند.

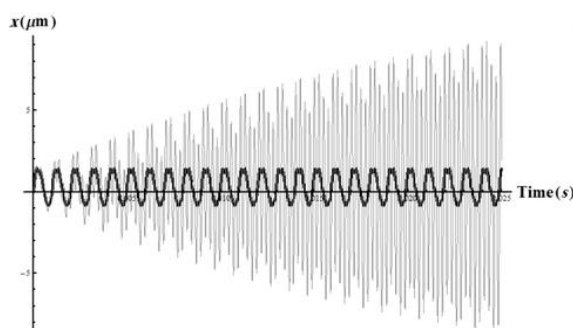
۱۱. اثر جاذب ارتعاشی بر دامنه ارتعاشات

تأثیر جاذب‌های ارتعاشی در کاهش دامنه ارتعاشات نوک ابزار برش در شکل‌های ۱۳ تا ۱۵ کاملاً مشهود است. با استفاده از جاذب ارتعاشی بهینه در سرعت بالا (۳۰۲۰۰ دور

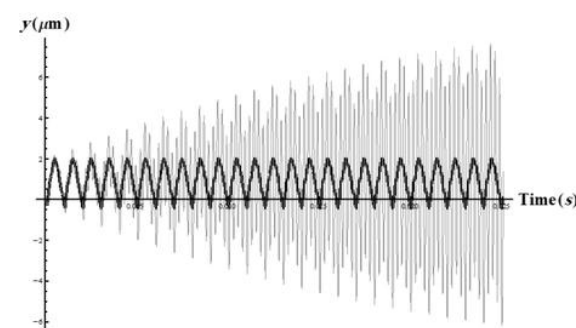


(الف)

شکل ۱۳. ارتعاشات ابزار برش در جهات x و y برای مدل بدون جاذب ارتعاشی (خط نازک) و با جاذب ارتعاشی خطی (خط پر)

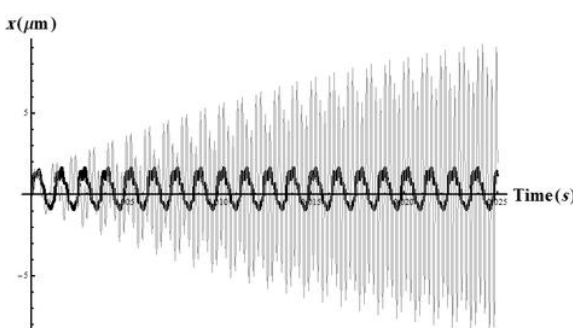


(ب)

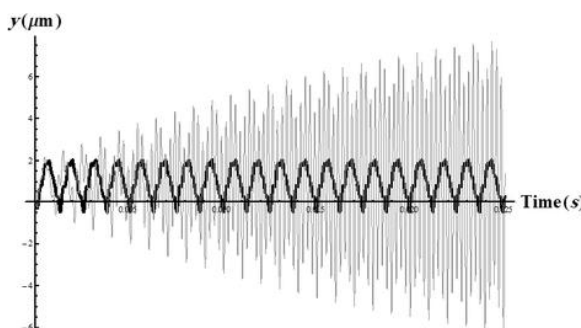


(الف)

شکل ۱۴. ارتعاشات ابزار برش در جهات x و y برای مدل بدون جاذب ارتعاشی (خط نازک) و با جاذب ارتعاشی غیرخطی مرتبه دوم (خط پر)



(ب)

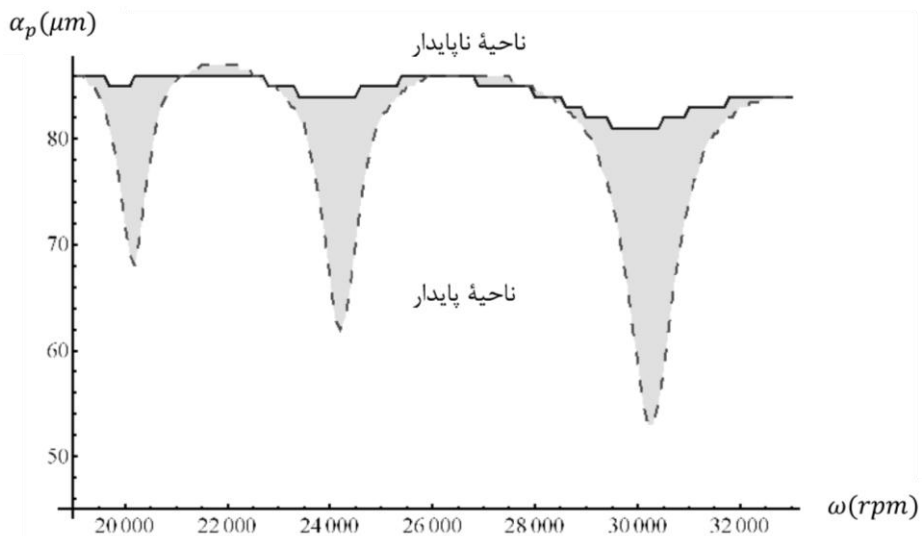


(الف)

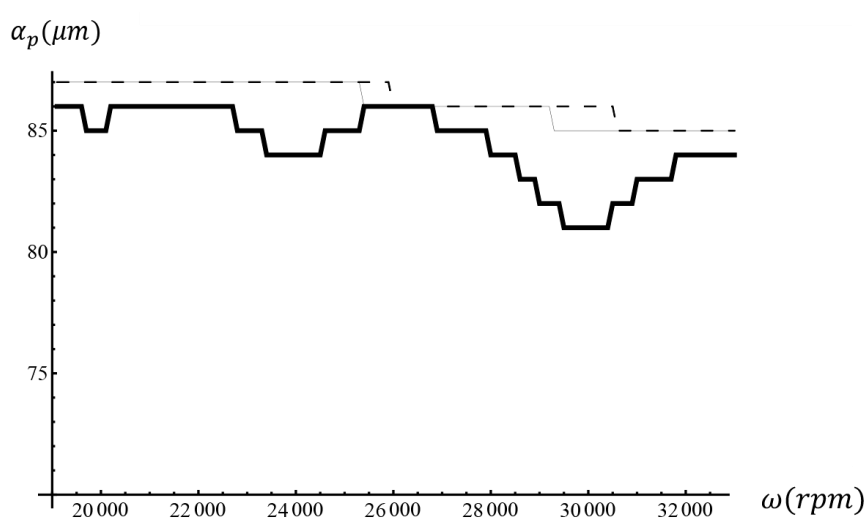
شکل ۱۵. ارتعاشات ابزار برش در جهات x و y برای مدل بدون جاذب ارتعاشی غیرخطی مرتبه سوم (خط پر)

سیستم دارند و پایداری سیستم را برای مقادیر بالاتری از عمق برش تضمین می‌کنند. در واقع قسمت هاشورخوردۀ شکل ۱۶ ناحیه‌ای است که با به کار بردن جاذبهای ارتعاشی بهینه‌شده به ناحیه پایداری سیستم افزوده شده است. برای جاذبهای ارتعاشی غیرخطی بهینه نیز نمودارهای پایداری استخراج شده و در شکل ۱۷ همراه با جاذبهای خطی و غیرخطی بهینه‌شده با یکدیگر مقایسه شده است.

۱۲. تأثیر جاذب ارتعاشی بر پایداری سیستم
در شکل ۱۶ ناحیه‌های پایداری سیستم بدون جاذب و با جاذب ارتعاشی خطی بهینه نمایش و با یکدیگر مقایسه شده‌اند. در ناحیه پایداری انتظار وقوع پدیدۀ ارتعاشات خودتحریک و ایجاد زیر سطح کار شده نمی‌رود [۱۲]. در شکل‌های ۱۳ تا ۱۵ نشان داده شده است که جاذبهای ارتعاشی بهینه‌شده تأثیر بسزایی در کاهش ارتعاشات این



شکل ۱۶. ناحیه پایداری سیستم میکروفرز کاری بدون جاذب (ناحیه زیر خط‌چین) و با جاذب ارتعاشی بهینه‌شده (ناحیه زیر خط تیره‌رنگ)



شکل ۱۷. ناحیه پایداری سیستم میکروفرز کاری با جاذب ارتعاشی خطی

(ناحیه زیر خطوط سیاه ضخیم) و با جاذب ارتعاشی غیرخطی با مرتبه دوم (ناحیه زیر خط‌چین) و مرتبه سوم (ناحیه زیر خط سیاه باریک)

۱۳. نتیجه‌گیری

شده است. همچنین آنالیز پایداری نشان داده است که با استفاده از جاذب‌های ارتعاشی بهینه، محدوده محسوسی (قسمت هاشورخورده شکل ۱۶) با توجه به عمق نفوذ ابزار برش، به ناحیه پایداری فرایند بدون جاذب (ناحیه زیر خط‌چین) افزوده شده است. در واقع با استفاده از این جاذب‌های ارتعاشی و پایدار نگهداشتن شرایط در یک سرعت محور مشخص می‌توان به مقدار عمق برش بیشتر و در نتیجه نرخ برداشت ماده بالاتر بدون کاهش کیفیت سطح دست یافت. در نهایت در شکل ۱۷ نشان داده شده است که عملکرد جاذب‌های ارتعاشی غیرخطی بهینه و بهخصوص جاذب ارتعاشی خطی با میرایی مرتبه دوم بهتر از جاذب ارتعاشی خطی است. جاذب ارتعاشی غیرخطی مرتبه دوم، با توجه به عمق برش در مرز ناحیه‌ای پایداری نشان داده شده، عملکرد سیستم را بهمیزان ۶۲ درصد نسبت به سیستم بدون جاذب و ۶ درصد نسبت به سیستم با جاذب خطی بهینه، در سرعن بحرانی بررسی شده، بهبود بخشیده است. لذا این نوع جاذب ارتعاشی غیرخطی، بهترین نوع جاذب برای فرایند میکروفرزکاری با مشخصات ذکر شده در این مقاله است.

در این مقاله از جاذب‌های ارتعاشی بهینه خطی و غیرخطی با میرایی مرتبه دوم و سوم برای فرونشاندن ارتعاشات خودتحریک در فرایند میکروفرزکاری استفاده شده است. فرایند میکروفرزکاری بهصورت سیستم دو درجه آزادی مدل شده است. مقادیر پارامترهای جاذب‌های ارتعاشی، با استفاده از روش بهینه‌سازی Brute-force method و حل عددی رونگه - کوتای صریح بهدست آمده‌اند. تأثیر جاذب‌های ارتعاشی بهینه‌شده بر کاهش ارتعاشات مورد بررسی قرار گرفته است و بر اساس نتایج حاصل از مقادیر مربوط به دامنه ارتعاشات در حالت‌های مختلف، استفاده از جاذب ارتعاشی بهینه دامنه ارتعاشات ابزار برش را در سرعت‌هایی که احتمال رخداد پدیده ارتعاشات خودتحریک زیاد است بیش از ۵۰ درصد کاهش می‌دهد. این امر سبب افزایش کیفیت سطح تولید شده می‌گردد. همان‌طور که در شکل‌های ۱۳ تا ۱۵ نشان داده شد، رفتار ارتعاشی سیستم بهنگام استفاده از جاذب‌های خطی و غیرخطی نزدیک به هم است. بنابراین تفاوت عملکرد آنها در شکل ۱۷، که مربوط به ناحیه‌های پایداری سیستم است، بهتر نشان داده

۱۴. مأخذ

- [1] Frahm, H. "Device for damping vibrations of bodies", US Patent No.989, 958, 1911.
- [2] Ibrahim, R. A. "Recent advances in nonlinear passive vibration isolators." *Journal of Sound and Vibration* 314, 2008, pp. 371-452.
- [3] Snowdon, J. C., *Vibration and Shock in Damped Mechanical Systems*, John Wiley & Sons, New York, 1968.
- [4] Febbo, M. "Optimal parameters and characteristics of a three degree of freedom dynamic vibration absorber." *Journal of Vibration and Acoustics*, 134, 2012, pp. 10-21.
- [5] Alexander, N.A., F. Schilder. "Exploring the performance of a nonlinear tuned mass damper", *Journal of Sound and Vibration*, 271, 2009, pp. 15–24.
- [6] Karyeaclis, M., T. K. Caughey. "Stability of a semi-active impact damper." *Journal of Applied Mechanics* 56, 1989, pp. 926–940.
- [7] Oueini, S. S., A. H. Nayfeh, J. R. Pratt. "A Nonlinear vibration absorber for flexible structures." *Nonlinear Dynamics*, 15, 1998, pp. 259–282.

- [8] Oueini, S. S., C. M. Chin, A. H. Nayfeh. "Dynamics of a cubic nonlinear vibration absorber." *Nonlinear Dynamics*, 20, 1999, pp. 283–295.
- [9] Gourdon, E., N. A. Alexander, C. H. Lamarque, S. Pernot, C. A. Taylor. "Nonlinear energy pumping under transient forcing with strongly nonlinear coupling theoretical and experimental results." *Journal of Sound and Vibration*, 300, 2007, pp. 522–551.
- [10] Kim, C., J. Mayor, J. Ni. "A static model of chip formation in micro scale milling." *Journal of Manufacturing Science and Engineering*, 126, 2004, pp. 710–719.
- [11] Kang, I., J. S. Kim, J. H. Kim, M. Kang, Y. Seo. "A mechanistic model of cutting force in the micro end milling process." *Journal of Material Processing Technology*, 187, 2007, pp. 250-255.
- [12] Bissacco, G., H. Hansen, J. Slunsky. "Modelling the cutting edge radius size effect for force prediction in micro milling." *Manufacturing Technology*, 57, 2008, pp. 113-116.
- [13] Afazov, S. M., S. M. Ratchev, J. Segal. "Modelling and simulation of micro-milling cutting forces." *Journal of Materials Processing Technology*, 210, 2010, pp. 2154-2162.
- [14] Quintana, G., J. Ciurana, D. Teixidor. "A new experimental methodology for identification of stability lobes diagram in milling operations." *International Journal of Machine Tools & Manufacture*, 48, 2008, pp. 1637–1645.
- [15] Afazov, S. M., S. M. Ratchev, J. Segal, A. A. Popov. "Chatter modelling in micro-milling by considering process nonlinearities." *International Journal of Machine Tools & Manufacture* 56, 2012, pp. 28–38.
- [16] Bao, W. Y., I. N. Tansel. "Modelling micro-end-milling operations: Part II: tool run-out." *International Journal of Machine Tools & Manufacture*, 40, 2000, pp. 2175–2192.
- [17] Zhongqun, L., L. Qiang. "Solutions and analysis of chatter stability for end milling in the time-domain." *Chinese Journal of Aeronautics* 21, 2008, pp. 169–178.

پی نوشت

-
1. chatter
 2. steady state
 3. Explicit Runge-Kutta
 4. orthogonal
 5. Mathematica
 6. tuned mass damper